・临床探讨・ DOI:10.3969/j.issn.1672-9455.2018.13.029

双克隆型多发性骨髓瘤 3 例报告并文献复习*

彭印印 1 ,肖 $f^{1\triangle}$,王 f^{1} ,杨 f^{1} ,余 f^{2}

(1. 重庆医科大学附属第一医院血液内科,重庆 400016; 2. 重庆交通大学,重庆 400074)

摘 要:目的 总结双克隆型多发性骨髓瘤的临床特点及诊治疗效。方法 收集重庆医科大学附属第一医院血液内科收治的 3 例双克隆型多发性骨髓瘤患者临床资料,并进行文献复习。结果 3 例患者均为男性,均有高血压基础疾病,治疗均采用含地塞米松的方案化疗。1 例随访 21 个月仍处于完全缓解状态,另 2 例经首次化疗均达到非常好的部分缓解状态。结论 双克隆型多发性骨髓瘤临床罕见,治疗多以全身化疗为主,部分还可联合自体造血干细胞移植,预后不详。

关键词:多发性骨髓瘤; 双克隆; 免疫球蛋白中图法分类号:R733.3 文献标志码:A

文章编号:1672-9455(2018)13-1963-04

多发性骨髓瘤(MM)是一种浆细胞恶性增殖性疾病,骨髓中克隆性浆细胞异常增生,并分泌单克隆免疫球蛋白或其片段(M蛋白),导致相关器官或组织损伤。分泌双克隆免疫球蛋白的 MM非常罕见,多见个案报道,其预后不详。本文将重庆医科大学附属第一医院血液内科收治的 3 例双克隆型 MM 进行报道,并对国内外相关文献进行回顾分析,以提高临床医师对该病的认识。

1 资料与方法

- 1.1 方法 纳入分析的病例资料均为重庆医科大学 附属第一医院血液内科收治的双克隆型 MM,诊断及 疗效判断均采用《多发性骨髓瘤 NCCN 肿瘤学临床实践指南》的标准^[1]。所有患者均行血常规、生化、体液免疫、血及尿免疫固定电泳、血清β₂-微球蛋白、骨髓涂片、骨髓免疫分型、骨髓染色体及融合基因检测、全身骨扫描及 X 线检查,部分患者行胸腰椎磁共振 (MRI)、PET-CT 检查,根据上述检查结果确定诊断、分期、分型,并评估治疗效果。
- 1.2 病例资料 病例 1,患者,男,65 岁,因"发现枕部包块 2 年,增大伴胀痛 1 月"于 2015 年 7 月 16 日人院,入院 2 年前发现枕部包块,并于 1 个月前包块逐渐增大至 6 cm×7 cm,伴头部胀痛、视力下降,遂就诊于重庆医科大学附属第一医院血液内科。既往有高血压病史 5 年。人院后行 PET-CT 提示:右侧顶枕骨软组织肿块形成并压迫邻近脑组织,颅骨、双侧锁骨、双侧肩胛骨、胸骨、双侧肋骨多处、脊柱多个椎体、双侧髂骨、双侧髋骨及双侧股骨颈多处骨质破坏。血肌酐 82.00 μmol/L,血钙 3.54 μmol/L,血红蛋白130.00 g/L。血清体液免疫: IgG 69.60 g/L, IgA

7.12 g/L,κ 轻链 29.90 g/L,λ 轻链 3.34 g/L,余均正 常。血β2-微球蛋白>10 000 μg/L。血清蛋白免疫固 定电泳提示 $IgG-\kappa+IgA-\lambda$ 双 M 蛋白血症(图 1A)。 骨髓涂片提示:幼稚浆细胞百分比12%。骨髓免疫分 型提示:异常克隆性浆细胞,表达 CD38、CD138,不表 达 CD19、CD20 等 B 细胞及 T 细胞标记。骨髓染色 体为正常核型,原位荧光杂交(FISH)检测:未见 13 号染色体长臂缺失;未见 TP53 基因缺失;IGH/MAF 融合基因、IGH/FGFR3融合基因、IGH/CCND1融合 基因均阴性。诊断: MM IgG-κ+IgA-λ 双克隆型Ⅲ期 A组。因患者经费紧张,予以CTD(环磷酰胺、地塞米 松、沙利度胺片)方案化疗2次后评估为部分缓解 (PR),换用CHOP(环磷酰胺+吡柔比星+长春地辛 +地塞米松)方案化疗 4 次后达到完全缓解(CR),然 后持续予以沙利度胺维持,未再随访。2016年12月 10 日患者因腰痛再次入院,复查骨穿及血生化提示: 疾病复发,免疫球蛋白以 IgA-λ 升高为主(IgG 7.60 g/L, IgA 15.90 g/L, κ 轻链 5.60 g/L, λ 轻链 5.96 g/L)。血清蛋白免疫固定电泳提示 IgG-κ型 M蛋白 消失,可见 IgA-λ型 M 蛋白存在。骨髓涂片提示:幼 稚浆细胞百分比10%。骨髓免疫分型和发病时一致。 予以 VTD(长春地辛十吡柔比星十地塞米松)方案化 疗 2 次后再次达到 CR,现患者继续随访治疗中。

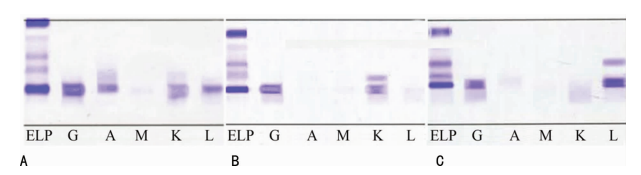
病例 2,患者,男,58 岁,因"右侧腰痛 5 年,血尿、尿痛伴发热 40 d"于 2017 年 2 月 9 日入院,入院 5 年前出现右侧腰部隐痛,未予重视,40 d 前出现血尿、尿痛伴中等度发热,遂入重庆医科大学附属第一医院血液内科。既往有高血压病史 6 年。入院后行腹部 B超提示:右肾结石。血肌酐 673 μmol/L,血钙 2.13

^{*} 基金项目:重庆市卫生和计划生育委员会重点项目(2013-1-013)。

[△] 通信作者,E-mail:727208884@qq.com。

mmol/L,血红蛋白 60 g/L。全身骨扫描未见明显异常。血清体液免疫: IgG 57. 80 g/L, κ 轻链 73. 30 g/L, κ 均正常。血 β_2 -微球蛋白>10 000 μ g/L。血清蛋白免疫固定电泳提示: IgG- κ + κ 双 M 蛋白血症(图 1B)。骨髓穿刺提示: 原始浆细胞 44%。骨髓染色体为正常核型, FISH 检测: 未见 13 号染色体长臂缺失; 未见 TP53 基因缺失; IGH/MAF 融合基因、IGH/FGFR3 融合基因、IGH/CCND1 融合基因均阴性。诊断: MM IgG- κ + κ 双克隆型 III 期 B 组。立即予以 BTD(硼替佐米+沙利度胺+地塞米松)方案化疗,1 个疗程后达到非常好的部分缓解(VGPR), 2 个疗程后达到 CR, 因患者拒绝自体移植,现第 5 次 BTD 方案化疗中,疾病仍处于 CR 状态。

病例 3,患者,男,73 岁,因"纳差 11 个月,双下肢 水肿 7 个月"于 2017 年 3 月 9 日入院,入院 11 个月前 患者出现食欲减退、体质量下降 10%,7 个月前出现 双下肢可凹性水肿,外院查尿常规提示尿蛋白 (+++),对症治疗效果欠佳,遂就诊于重庆医科大 学附属第一医院血液内科。既往有高血压病史 10 余 年。入院后查血肌酐 202.00 μ mol/L,血钙 3.51 $\mu \text{mol/L}$,血红蛋白 120.00 g/L。血清体液免疫示: IgG 17.80 g/L,λ 轻链 11.30 g/L,余均正常。血 β₂-微球蛋白>10 000 μg/L。血清蛋白免疫固定电泳提 示: IgG-λ+λ 双 M 蛋白血症(图 1C)。骨髓穿刺提 示:原始浆细胞 34%。骨髓染色体为正常核型,FISH 检测:未见13号染色体长臂缺失;未见TP53基因缺 失;IGH/MAF融合基因、IGH/FGFR3融合基因、 IGH/CCND1 融合基因均阴性。诊断: MM IgG-λ+λ 双克隆型 Ⅲ期 B 组。因患者经费紧张,予以 VTD(长 春地辛、吡柔比星、地塞米松)方案化疗1个疗程后达 到 VGPR,但继发肺部真菌感染,患者及家属放弃治 疗,后未再随访。



注: A 为病例 1 的血清蛋白免疫固定电泳图; B 为病例 2 的血清蛋白免疫固定电泳图; C 为病例 3 的血清蛋白免疫固定电泳图

图 1 血清蛋白免疫固定电泳图

2 结 果

3 例双克隆型 MM 占重庆医科大学附属第一医院血液内科同期 MM 的 4.8% (3/62),3 例患者均为男性,均有高血压基础疾病,分别为 $IgG-\kappa+IgA-\lambda$ 双克隆型、 $IgG-\kappa+\kappa$ 双克隆型、 $IgG-\lambda+\lambda$ 双克隆型,治疗均采用含地塞米松的方案化疗。病例 1 先后采用CTD、CHOP、VTD方案化疗,病例 2 采用 BTD 方案

化疗,病例 3 采用 VTD 方案化疗。病例 1 发生时间早,治疗 6 个疗程后达到 CR,后因患者失访,直至 4 个月前疾病复发再次就诊,截至 2017 年 4 月共随访21 个月,目前仍处于 CR 状态。病例 2 及病例 3 因发生时间晚,OS 及 PFS 均暂不能评估,但首次化疗均达到 VGPR,推测后期效果良好。

3 讨 论

3.1 概述 双克隆型 MM 是一种少见类型的浆细胞 病,发病率较低,国内外数据表明,该类型约占全部骨 髓瘤的 0.3%~2.7%[2],多见于个案报道,缺乏大宗 的完整数据资料报道。目前大宗报道的为 MUL-LIKIN 等[3]报道的 393 例双克隆免疫球蛋白血症,其 次为 KYLE 等[4]报道的 57 例双克隆免疫球蛋白血症 及西班牙学者报道的 47 例双克降免疫球蛋白血 症[5],但所研究的人群均为双克隆免疫球蛋白血症 者,而非 MM。此外, MULLIKIN 等[3]报道了双克隆 型 MM 35 例,杨强等^[6]报道了双克隆型 MM 6 例,王 慧娟等[7]报道了双克隆型 MM 5 例,其余多见个案报 道。本文报道3例双克隆型 MM,占重庆医科大学附 属第一医院血液内科同期收治的 MM 的 4.8% (3/62),发生率相比文献报道较高,可能与总体 MM 病例数少、分析时间短有关,此外,分析的总体 MM 均 为住院患者,而门诊患者未能收集,亦为影响因素。

双克隆免疫球蛋白是指在免疫固定电泳上出现 两个不同的异常免疫球蛋白条带,既可能来源于同一 株恶变浆细胞,也可能分别来源于双株恶变浆细胞。 双克隆 M 蛋白的组成多数是不同的重链,在 M 蛋白 定量上多以一种 M 蛋白为主,另外一种 M 蛋白含量 较少,大多为 IgG+IgA,其次为 IgM+IgG/IgA 型, 罕见的为 IgA+IgE,且大部分患者中 2 组 M 蛋白成 分的轻链相同,也有重链及轻链均不相同者。目前, IgG-κ+IgA-λ 双克隆型报道相对较多,而重链合并游 离轻链型的双克隆型相对少见。杨建和等[8]报道了1 例 IgG-κ+κ 双克隆型 MM,杨强等^[6] 报道了 1 例 IgA-λ+κ双克隆型 MM, RABRENOVIC 等[9] 报道了 1 例 IgD-λ+λ 双克隆型 MM。本文报道 1 例 IgG-κ+ IgA-λ 双克隆型 MM、2 例 IgG 合并游离轻链双克隆 型 MM,免疫固定电泳分析明确可见双克隆型 M 蛋 白,与国内外报道的双克隆型 MM 免疫固定电泳表现 一致。

3.2 发病机制 双克隆免疫球蛋白发病机制尚不清楚,可能与B细胞在分化、增殖过程中由于基因突变使其肿瘤化有关,也可能是因恶性浆细胞分泌紊乱,致轻、重链合成失衡及组合出现障碍。文献中部分患者的流式细胞术检测免疫表型上会出现 κ 和 λ 的共同表达,甚至有一些患者的流式细胞术检测的免疫表

型可以明显分为两群细胞。本组 3 例双克隆型 MM 患者,均行免疫分型,但免疫分型未发现这一现象,亦 不能区分是否来源于两群恶变浆细胞。

- 3.3 临床表现 双克隆型 MM 临床表现无明显特殊性,多与典型 MM 相似,常表现为贫血、肾功能异常、感染、高钙血症、出血、骨痛和(或)病理性骨折、髓外浸润等。本文 3 例病例中,病例 1 以髓外浸润起病,后病情进展以腰痛为主要表现,病例 2 以贫血、出血、感染、肾功能受损为主要表现,病例 3 以高钙、肾功能受损为主要表现,与单克隆型 MM 表现无特异性。
- 3.4 诊断及鉴别诊断 双克隆型 MM 临床诊断并不 困难,其诊断依据除了符合 MM 的诊断标准外,还需 经免疫固定电泳证实确实存在两组不同的 M 成分,即双克隆型 M 蛋白存在的依据。双克隆型 M 蛋白多以一种升高为主,并达到 MM 的主要诊断指标,另一组仅轻度升高,免疫固定电泳检查可发现存在浓度不高的小 M 带。这种小 M 带在普通免疫电泳中常隐藏于 β 、 γ 区或另一组显著升高的 M 带中,不易显示或易被忽视,易漏诊或误诊为单克隆型 β 0 放双克隆型 MM 诊断必须要进行全面的体液免疫、血及尿本周氏蛋白、 β 2-微球蛋白、免疫固定电泳、骨髓涂片及免疫分型等相关检查。

此外,双克隆免疫球蛋白还可见于其他淋巴系统增殖性疾病,如淋巴瘤、慢性淋巴细胞白血病、原发性巨球蛋白血症、淀粉样变性、意义未明的单克隆免疫球蛋白血症,以及实体瘤(如前列腺癌、肺癌、肾癌)、自身免疫性疾病(如干燥综合征、皮肌炎)、感染性疾病(如丙型肝炎、克罗恩病)等。因此在诊断双克隆型MM时应仔细分析鉴别。本组病例中,患者除双克隆型MM外,均有原发性高血压基础疾病,不伴淋巴系统及上述其他类疾病,但从目前文献报道及分析看,未发现双克隆型MM与高血压有直接联系。

3.5 治疗及预后 双克隆型 MM治疗转归与单克隆 MM 略有不同,预后不详。多数病例经 M2(美法仑+泼尼松+环磷酰胺+卡莫司汀+长春新碱)、MP(美法仑+泼尼松)、VAD(长春新碱+多柔比星+地塞米松)、CD(环磷酰胺+地塞米松)、TD(沙利度胺+地塞米松)等经典方案,以及含硼替佐米的 BCD(硼替佐米+环磷酰胺+地塞米松)方案、BTD(硼替佐米+沙利度胺+地塞米松)方案化疗,亦有报道联合行自体造血干细胞移植者[10],上述治疗后往往其中一种 M 成分减少或消失,而另一种 M 成分的变化不明显,但骨髓瘤细胞负荷均有明显降低,这可能与不同克隆的浆细胞对化疗的敏感性存在差异有关,也有部分报道两种 M 蛋白成分均明显降低或消失。本组病例中,病例1发病时免疫球蛋白以 IgG-κ 升高为主,经2次

CTD、4 次 CHOP 方案治疗后两种 M 蛋白成分均消失,达到 CR,后持续予以沙利度胺维持,17 个月后疾病复发,免疫球蛋白以 IgA-λ 升高为主,换用 VTD 方案化疗后再次达到 CR,虽免疫分型未能明确分出来源于两群细胞,但因对化疗药物的耐受性表现不一致,推测该患者两种 M 蛋白可能来源于两组倍增时间不一致的恶变浆细胞。

JIWANI 等[10]报道2例双克隆型 MM,均行自体 造血干细胞移植,其中1例经 VAD、DCEP(地塞米松 +环磷酰胺+依托泊昔+顺铂)、CAD、DCEP等方案 化疗后行自体造血干细胞移植,后续以干扰素和地塞 米松维持,持续 CR 状态 4 年后复发,予以 M-VTD-PACE 方案化疗诱导、巩固及二次造血干细胞移植、 VRD 方案维持,于8年后因股骨颈骨折术后脂肪栓 塞、呼吸衰竭死亡;另1例予以 M-VTD-PACE 方案 化疗后行自体造血干细胞移植,再次2个疗程 VTD-PACE 方案巩固化疗,后持续 CR 状态,具体时间不 详。杨强等[6]报道的 6 例双克隆型 MM 采用 TD 方 案治疗 2 例, MP 方案治疗 1 例, TAD(沙利度胺+表 阿霉素+地塞米松)方案治疗1例,BCD方案治疗3 例,6 例患者的中位总生存期(OS)为 25(1~53)个月, 3 例接受 BCD 方案治疗的患者最佳疗效均为 VGPR, OS 分别为 53、36、14 个月,其他 3 例均死亡。王慧娟 等[7]报道 5 例双克隆型 MM 接受 M2、MP、VAD、 TAD 等方案作为初始治疗,2 例达到 PR,1 例疾病稳 定,1 例疾病进展,无达到 CR 的病例。本组 3 例病例 中,分别采用 CTD、CHOP、VTD、BTD 方案化疗,目 前效果均较好,但因病例数少,随访时间短,暂不能评 估预后及远期疗效。综合文献结果,双克隆型 MM 并未显示比单克隆 MM 有明显不良预后。自体移植 在双克隆型 MM 的应用因报道较少,是否较单纯化疗 明显获益,尚需进一步的观察,且随着硼替佐米的广 泛应用及新药(来那度胺等)的应用,MM 的治疗效果 已显著提高,双克隆型 MM 的治疗效果是否会随着新 药的应用而得以改善,还有待于进一步的临床观察。

双克隆免疫球蛋白 MM 临床罕见,发病机制尚不完全清楚,临床表现及治疗方式与单纯 MM 无明显特殊性,诊断除 MM 标准外,还需有双克隆型 M 蛋白存在的依据,预后尚需大样本的因素分析。

参考文献

- [1] National Comprehensive Cancer Network, NCCN clinical practice guidelines in oncology: multiple myeloma-evidence blocks(Version 3. 2017) [S/OL]. [2017-07-10]. https://www.nccn.org/professionals/physician_gls/default.aspx#myeloma.
- 「2〕 冶秀鹏,包慎,李叶琼,等. 双克隆型多发性骨髓瘤合并干

燥综合征 1 例并文献复习[J]. 临床血液学杂志,2016,29 (3):235-236.

- [3] MULLIKIN T C, RAJKUMAR S V, DISPENZIERI A A, et al. Clinical characteristics and outcomes in biclonal gammopathies [J]. Am J Hematol, 2016, 91(5):473-475.
- [4] KYLE R A, ROBINSON R A, KATZMANN J A. The clinical aspects of biclonal gammopathies. Review of 57 cases[J]. Am J Med, 1981, 71(6):999-1008.
- [5] GARCÍA-GARCÍA P, ENCISO-ALVAREZ K, DIAZ-ES-PADA F, et al. Biclonal gammopathies: Retrospective study of 47 patients[J]. Rev Clin Esp, 2015, 15(1): 18-24.
- [6] 杨强,侯健,陈文明,等.双克隆免疫球蛋白多发性骨髓瘤 六例报告并文献复习[J].中华血液学杂志,2016,37(7): 614-616.
- [7] 王慧娟,李燕郴,胡影,等.双克隆型多发性骨髓瘤五例
- ・临床探讨・ DOI: 10.3969/j. issn. 1672-9455, 2018, 13, 030

- [J]. 白血病·淋巴瘤,2010,19(12):748-749.
- [8] 杨建和,卢绪章,肖溶,等. IgG 合并游离 KAP 轻链型双克隆型多发性骨髓瘤实验室特点及临床特征[J]. 实用临床医药杂志,2011,15(7):41-43.
- [9] RABRENOVIC V, MIJUŠKOVIC Z, MARJANOVIC S, et al. Kidney failure as an unusual initial presentation of biclonal gammopathy (IgD multiple myeloma associated with light chain disease)-a case report [J]. Vojnosanit Pregl, 2015, 72(2):196-199.
- [10] JIWANI S, BORNHOST J, ALAPAT D. Biphenotypic plasma cell myeloma; two cases of plasma cell neoplasm with a coexpression of kappa and lambda light chains [J]. Int J Clin Exp Pathol, 2015, 8(7):8536-8544.

(收稿目期:2018-01-26 修回日期:2018-05-04)

家庭护理在妇科宫腔镜手术治疗中的应用。

周秀英1,李 晶1,庞 华2△

(1. 重庆三峡中心医院 404000; 2. 重庆市妇幼保健院 400013)

摘 要:目的 探讨家庭护理在宫腔镜手术治疗中的效果。方法 将宫腔镜手术患者 108 例随机分为观察组和对照组,每组 54 例,观察组患者进行常规护理加家庭护理干预,对照组患者应用常规护理干预,比较两组患者的手术时间、术中出血量、住院时间、并发症、焦虑值、抑郁值、疼痛程度指数及护理满意度。结果 观察组患者的手术时间、术中出血量及住院时间明显低于对照组,且并发症发生率(1.85%)显著低于对照组(9.26%) (P < 0.05)。观察组患者实施家庭护理后焦虑值及抑郁值明显小于对照组患者,观察组患者的疼痛程度明显轻于对照组,观察组患者的护理总满意度(96.30%)明显高于对照组(83.33%),差异均有统计学意义(P < 0.05)。结论 宫腔镜手术中进行家庭护理的临床效果显著,主要表现在手术时间短、术中出血量少、术后并发症少,焦虑和抑郁值低,疼痛小,且护理满意度高,值得临床推广与应用。

关键词:宫腔镜手术; 家庭护理; 护理满意度

中图法分类号: R713; R473.71

文献标志码:A

文章编号:1672-9455(2018)13-1966-04

宫腔镜手术是指用宫腔镜进行的微创手术,随着近几年医学的不断发展,宫腔镜手术被越来越广泛地应用于妇科疾病的检查、诊断及治疗中[1]。宫腔镜手术能够清晰地观察子宫腔内的病变,可进行定位采集病变组织送检,诊断准确、及时、全面、直观,且疗效好,创伤小,出血少,康复快,有效安全[2]。但是由于宫腔镜是近几年刚兴起的新技术,很多患者缺乏对宫腔镜手术的了解,患者会出现焦虑、不安等不良心理,影响手术的效果[3]。随着社会的发展,医学模式发生了很大变化,医生不仅关注疾病本身,同时也开始关注情感、心理等其他因素对患者的影响。家庭护理是

为个人和家庭提供连续性、综合性、医疗保健性的服务,根据患者的病情制订以家庭为单位的人格化、科学化的家庭护理方案,向家庭传递相关健康知识和医学实践技能,满足家庭需要,维持家庭结构和功能的良好状态,使家庭及其成员达到最佳健康水平。本研究选取2014年6月至2016年6月在重庆三峡中心医院进行宫腔镜手术的108例患者作为研究对象,研究家庭护理干预应用于宫腔镜手术患者中的效果。

1 资料与方法

1.1 一般资料 选取 2014 年 6 月至 2016 年 6 月在 本院进行宫腔镜手术的 108 例患者作为研究对象,无

^{*} 基金项目:重庆市社会事业与民生保障科技创新专项(一般)(cstc2016shmszx130028)。

[△] 通信作者,E-mail:3457709065@qq.com。